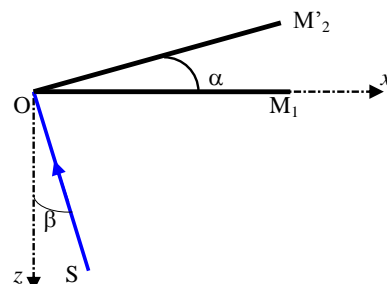


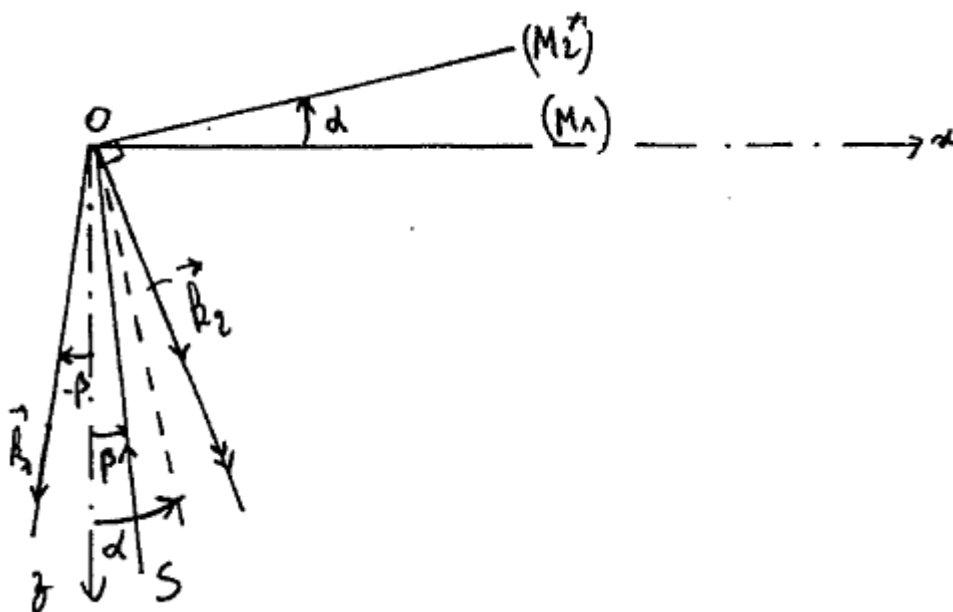
Physique TD 9. INTERFEROMETRE DE MICHELSON

1. Localisation des franges d'égale épaisseur

Un interféromètre de Michelson est réglé en coin d'air d'angle $\alpha = 3.10^{-3}$ rad. Il est éclairé par une source monochromatique de longueur d'onde $\lambda_0 = 683$ nm, placée à l'infini.



- a. La source est ponctuelle à l'infini et l'onde plane incidente arrive sous un angle β sur le miroir M_1 . Déterminer les directions des ondes réfléchies par les miroirs M_1 et M_2 et en déduire leurs vecteurs d'onde respectifs \vec{k}_1 et \vec{k}_2 . L'origine des phases et de l'espace étant prise au point O de l'arête du coin d'air, exprimer l'ordre d'interférences p en un point M en fonction de λ_0, x, y, α et β .



$$\vec{k}_1 \text{ fait l'angle } -\beta \text{ avec } Oz : \vec{k}_1 = \frac{2\pi}{\lambda_0} (\cos \beta \vec{e}_z - \sin \beta \vec{e}_x)$$

\vec{k}_2 fait l'angle $\alpha - \beta$ avec la normale à M_2 donc $2\alpha - \beta$ avec Oz :

$$\vec{k}_2 = \frac{2\pi}{\lambda_0} (\cos(2\alpha - \beta) \vec{e}_z + \sin(2\alpha - \beta) \vec{e}_x)$$

Onde plane :

$$\begin{cases} a_1(M) = A_1 \cos(\omega t + \varphi_0 - \vec{k}_1 \cdot \vec{r}) \\ a_2(M) = A_2 \cos(\omega t + \varphi_0 - \vec{k}_2 \cdot \vec{r}) \end{cases} \text{ avec } \vec{r} = \overline{OM}$$

$$\varphi_M = \varphi_{2M} - \varphi_{1M} = (\vec{k}_2 - \vec{k}_1) \cdot \vec{r} = \frac{2\pi \delta_M}{\lambda_0} = 2\pi p \text{ avec } \delta_M = (SM)_1 - (SM)_2$$

$$\rightarrow p = \frac{(\vec{k}_2 - \vec{k}_1) \cdot \vec{r}}{2\pi} = \frac{1}{\lambda_0} [(\cos(2\alpha - \beta) - \cos \beta)z + (\sin(2\alpha - \beta) + \sin \beta)x]$$

- b. La source est étendue, c'est à dire que β varie entre $-\beta_M$ et $+\beta_M$. Évaluer la variation de l'ordre d'interférences en fonction de β_M en un point M du miroir M_1 à $d = 1$ cm de O , pour $\beta_M = 10^{-2}$ rad, puis pour $\beta_M = 1$ rad. Commenter.

$$x = d \text{ et } z = 0 \rightarrow p = \frac{1}{\lambda_0} [(\sin(2\alpha - \beta) + \sin \beta)d] = \frac{d}{\lambda_0} (\sin 2\alpha \cos \beta - \sin \beta \cos 2\alpha + \sin \beta)$$

Comme $\alpha \ll 1$: $\sin 2\alpha \approx 2\alpha$ et $\cos 2\alpha \approx 1$

$$\rightarrow p = \frac{d2\alpha \cos \beta}{\lambda_0}$$

$$p(\beta = 0) = 2\alpha \frac{d}{\lambda_0}$$

$$p(\beta_M) = p(-\beta_M) = \frac{2\alpha d}{\lambda_0} \cos \beta_M$$

$$|\Delta p| = |p(0) - p(\pm\beta_M)| = \frac{2\alpha d}{\lambda_0} (1 - \cos \beta_M)$$

$$\begin{cases} |\Delta p| = 4.10^{-3} \ll 1 & \text{pour } \beta_M = 10^{-2} \text{ rad} \\ |\Delta p| = 40 & \text{pour } \beta_M = 1 \text{ rad} \end{cases}$$

Dans le premier cas, il n'y a pas brouillage, dans le second, il y a brouillage.

c. Déterminer le lieu des points $M(x, z)$ où $\frac{dp}{d\beta}$ est nul pour $\beta = 0$ et commenter.

$$\frac{dp}{d\beta} = \frac{1}{\lambda_0} [(\sin \beta + \sin(2\alpha - \beta))z + (\cos \beta - \cos(2\alpha - \beta))x]$$

$$\text{Pour } \beta = 0 \quad : \quad \frac{dp}{d\beta} = \frac{1}{\lambda_0} [\sin(2\alpha)z + (1 - \cos(2\alpha))x]$$

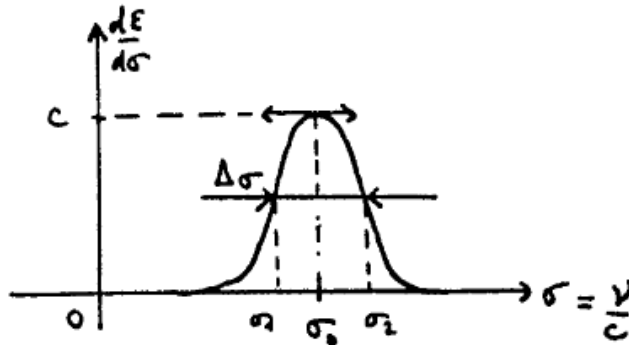
$$\frac{dp}{d\beta} = 0 \quad \Leftrightarrow \quad \sin(2\alpha)z = (-1 + \cos(2\alpha))x \quad \rightarrow \quad z = \frac{-1 + \cos(2\alpha)}{\sin(2\alpha)}x = \frac{-2 \sin^2 \alpha}{2 \sin \alpha \cos \alpha}x$$

$$z = -\tan \alpha \quad \rightarrow \quad \text{Les franges sont localisées sur } M'_2$$

2. Mesure de la largeur d'une raie spectrale, cohérence temporelle

Un interféromètre de Michelson réglé en lame d'air d'épaisseur e est éclairé par une radiation dont le profil spectral est : $\frac{d\mathcal{E}}{d\sigma} = f(\sigma) = C \exp\left[-\frac{(\sigma - \sigma_0)^2}{a^2}\right]$ où σ_0 , C et a sont des constantes positives ($a \ll \sigma_0$ et $\sigma = \frac{1}{\lambda}$). Pour simplifier, on étendra la fonction f aux valeurs négatives de σ , domaine où elle prend des valeurs négligeables.

- a. Quelle est la signification de σ_0 ? Calculer la largeur $\Delta\sigma$ du profil à mi-hauteur et interpréter la constante a .



$$\frac{d\mathcal{E}}{d\sigma} = f(\sigma) = C \exp\left[-\frac{(\sigma - \sigma_0)^2}{a^2}\right] \quad : \quad \text{profil Gaussien}$$

σ_0 est le nombre d'onde « central », $\lambda_0 = \frac{1}{\sigma_0}$ est la longueur d'onde de la raie (quasi monochromatique).

Largeur à mi-hauteur :

$$\exp\left[-\frac{(\sigma - \sigma_0)^2}{a^2}\right] = \frac{1}{2} \Leftrightarrow \frac{(\sigma - \sigma_0)^2}{a^2} = \ln 2 \Leftrightarrow \sigma - \sigma_0 = \pm a\sqrt{\ln 2} \Leftrightarrow \sigma = \sigma_0 \pm a\sqrt{\ln 2}$$

$$\Delta\sigma = 2a\sqrt{\ln 2} \rightarrow a = \frac{\Delta\sigma}{2\sqrt{\ln 2}} = 0,6 \Delta\sigma$$

a caractérise la largeur de la raie.

- b. On fait varier l'épaisseur e en tradant l'un des miroirs avec un moteur. Établir l'expression de l'éclairement $\mathcal{E}(e)$ en fonction des constantes et de la fonction $F(x) = \int_{-\infty}^{+\infty} f(\sigma)e^{2j\pi x\sigma} d\sigma$, transformée de Fourier de $f(\sigma)$.

Une bande de largeur $d\sigma$ (comprise entre σ et $\sigma + d\sigma$) est une source élémentaire monochromatique d'éclairement $d\mathcal{E}_0 = \frac{d\mathcal{E}}{d\sigma} d\sigma = f(\sigma)d\sigma$.

En M , l'onde produit l'éclairement $d\mathcal{E}(M) = 2d\mathcal{E}_0 \left(1 + \cos\frac{2\pi\delta}{\lambda}\right) = 2d\mathcal{E}_0(1 + \cos 2\pi\sigma\delta)$

Pour toute la raie $\mathcal{E}(M) = \int d\mathcal{E}(M)$ (additivité des éclaircements car les ondes de fréquences différentes sont distinctes).

$$\mathcal{E}(M) = \int_{-\infty}^{+\infty} 2f(\sigma)d\sigma(1 + \cos 2\pi\sigma\delta) \quad \text{avec} \quad \delta = 2e$$

$$\mathcal{E}(M) = \int_{-\infty}^{+\infty} 2f(\sigma)d\sigma(1 + \cos 4\pi\sigma e) = \int_{-\infty}^{+\infty} 2f(\sigma)d\sigma \left(1 + \frac{e^{j4\pi\sigma e} + e^{-j4\pi\sigma e}}{2}\right)$$

$$\rightarrow \mathcal{E}(M) = \int_{-\infty}^{+\infty} 2f(\sigma)d\sigma + \int_{-\infty}^{+\infty} e^{j4\pi\sigma e} f(\sigma)d\sigma + \int_{-\infty}^{+\infty} e^{-j4\pi\sigma e} f(\sigma)d\sigma$$

On pose : $\int_{-\infty}^{+\infty} f(\sigma)d\sigma = \mathcal{E}_0 \rightarrow \mathcal{E}(e) = 2\mathcal{E}_0 + F(2e) + F(-2e)$

- c. Sachant que $\int_{-\infty}^{+\infty} \exp\left(-\frac{u^2}{a^2}\right) \exp(2j\pi ux) du = a\sqrt{\pi} \exp(-\pi^2 a^2 x^2)$, établir l'expression de $\mathcal{E}(e)$ et tracer l'allure de son graphe pour $\Delta\sigma \ll \sigma_0$. Comment évolue la visibilité des franges ? Comment peut-on mesurer $\Delta\sigma$? Quelle valeur de e doit-on pouvoir atteindre ? Retrouver l'ordre de grandeur de la longueur de cohérence de la source en fonction de $\Delta\sigma$.

$$\int_{-\infty}^{+\infty} e^{j4\pi\sigma e} f(\sigma) d\sigma = \int_{-\infty}^{+\infty} e^{j4\pi\sigma e} C \exp\left[-\frac{(\sigma - \sigma_0)^2}{a^2}\right] d\sigma = Cte \int_{-\infty}^{+\infty} \exp\left(-\frac{u^2}{a^2}\right) \exp(2j\pi ux) du$$

avec $u = \sigma - \sigma_0$ et $x = 2e \rightarrow \exp(2j\pi ux) = \exp(2j\pi(\sigma - \sigma_0)2e)$
 $\rightarrow Cte = C e^{4ej\pi\sigma_0}$
 $\rightarrow F(2e) = C e^{4ej\pi\sigma_0} a\sqrt{\pi} \exp(-\pi^2 a^2 4e^2)$

De même, $F(-2e) = C e^{-4ej\pi\sigma_0} a\sqrt{\pi} \exp(-\pi^2 a^2 4e^2)$ et $F(0) = \int_{-\infty}^{+\infty} f(\sigma) d\sigma = Ca\sqrt{\pi} = \varepsilon_0$

$$\rightarrow \varepsilon(e) = 2Ca\sqrt{\pi} + C e^{4ej\pi\sigma_0} a\sqrt{\pi} \exp(-\pi^2 a^2 4e^2) + C e^{-4ej\pi\sigma_0} a\sqrt{\pi} \exp(-\pi^2 a^2 4e^2)$$

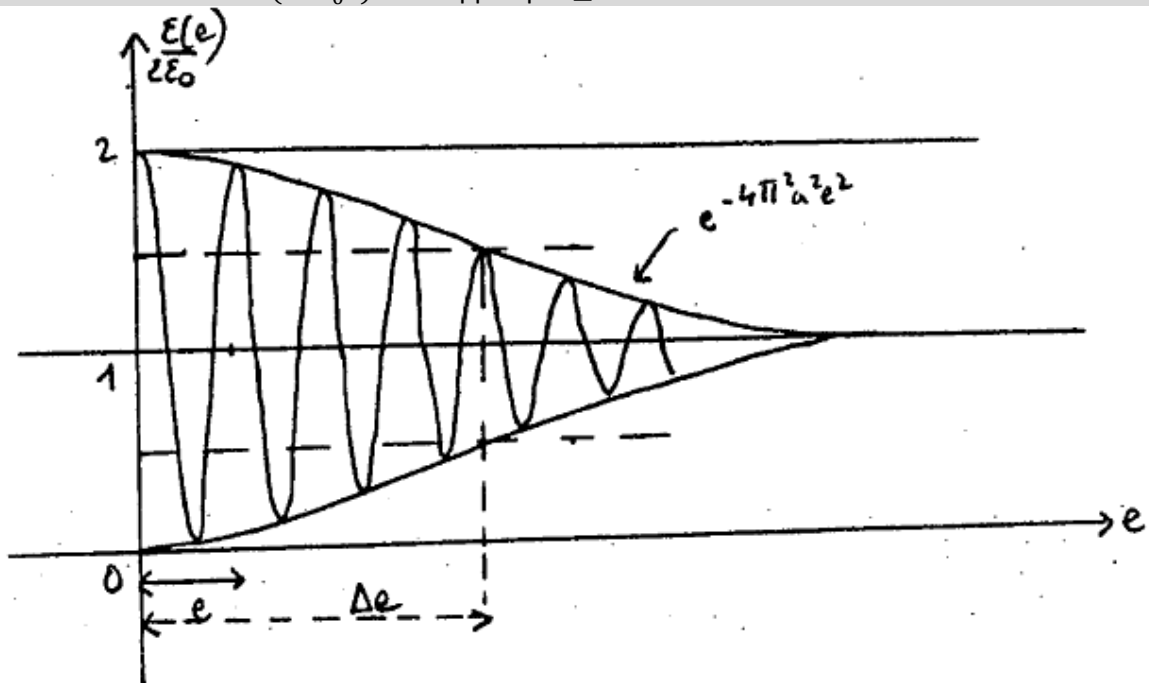
$$\rightarrow \varepsilon(e) = 2Ca\sqrt{\pi} \left(1 + \frac{e^{4ej\pi\sigma_0} + e^{-4ej\pi\sigma_0}}{2} \exp(-\pi^2 a^2 4e^2)\right)$$

$$\rightarrow \varepsilon(e) = 2Ca\sqrt{\pi} (1 + \cos(4e\pi\sigma_0) \exp(-\pi^2 a^2 4e^2)) = 2\varepsilon_0 (1 + \cos(4e\pi\sigma_0) \exp(-\pi^2 a^2 4e^2))$$

La fonction $\cos(4e\pi\sigma_0)$ a une période de $\frac{1}{2\sigma_0} = \frac{\lambda_0}{2}$. (Fonction habituelle : $\cos\frac{2\pi\delta}{\lambda_0}$)

Sur une distance $e = \frac{1}{2\sigma_0}$, $e^{-4\pi^2 a^2 e^2}$ décroît très peu puisque $a \ll \sigma_0$ par hypothèse.

On a donc une fonction $\cos(4\pi\sigma_0 e)$ enveloppée par $\pm e^{-4\pi^2 a^2 e^2}$



La visibilité des franges $V = e^{-4\pi^2 a^2 e^2} = \frac{\varepsilon_{Max} - \varepsilon_{Min}}{\varepsilon_{Max} + \varepsilon_{Min}}$ décroît exponentiellement avec e .

On peut accéder à la valeur de a en mesurant par exemple, la valeur de e pour laquelle $e^{-4\pi^2 a^2 e^2} = \frac{1}{2}$ (largeur à mi-hauteur)

$$e^{-4\pi^2 a^2 (\Delta e)^2} = \frac{1}{2} \leftrightarrow 4\pi^2 a^2 (\Delta e)^2 = \ln 2 \leftrightarrow \Delta e = \frac{\sqrt{\ln 2}}{2\pi a} = \frac{\sqrt{\ln 2} 2\sqrt{\ln 2}}{2\pi \Delta\sigma} \quad \text{d'après 1.}$$

La mesure de Δe donne : $\Delta\sigma = \frac{\ln 2}{\pi\Delta e}$

Partant de $e = 0$, il faut pouvoir atteindre $e = \frac{\ln 2}{\pi\Delta\sigma}$: on peut être limité par des contraintes mécaniques (translation limitées à quelques cm pour un appareil usuel)

Longueur de cohérence : $e^* = \delta_{max} = 2e_{max} \approx 2\Delta e$

Remarque :

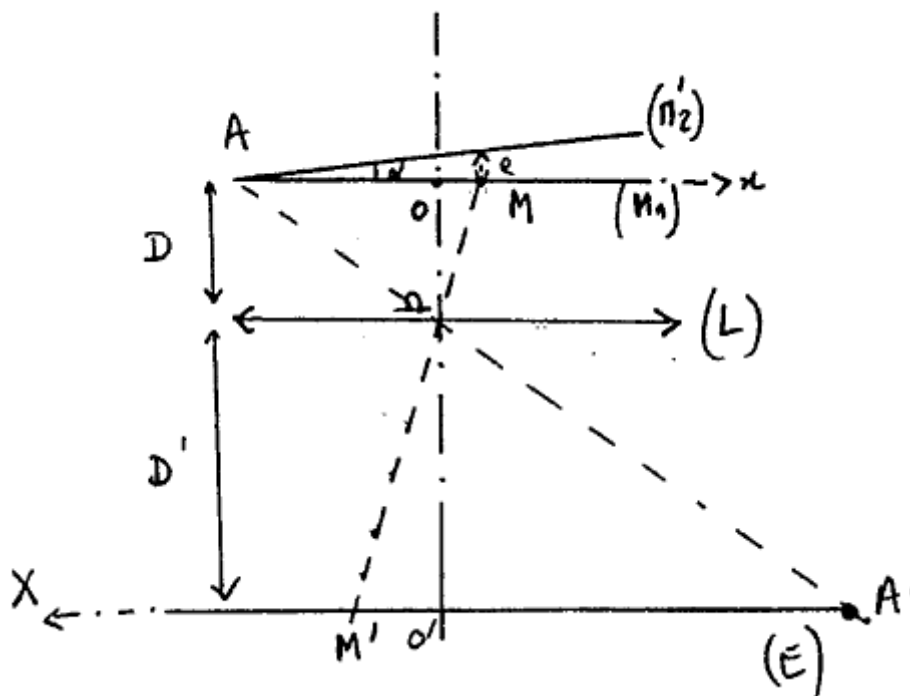
$$e^* = 2\Delta e = 2 \frac{\ln 2}{\pi\Delta\sigma} \rightarrow \begin{cases} e^* = c\tau \\ \Delta\sigma = \frac{\Delta\nu}{c} \end{cases} \rightarrow c\tau = 2 \frac{\ln 2}{\pi\Delta\nu} c$$

On retrouve le résultat classique :

$$c\tau\Delta\nu = 2 \frac{\ln 2}{\pi} = 0,44 \rightarrow \tau\Delta\nu \approx 1$$

3. Spectre cannelé

Un interféromètre de Michelson est réglé en coin d'air. Il est éclairé en lumière parallèle grâce à une source S placée au foyer d'une lentille convergente. Les franges sont observées sur un écran plan (E) grâce à une lentille (L) de distance focale $f' = 12,5 \text{ cm}$, placée à $D = 15 \text{ cm}$ de M_2 .



- a. La source étant monochromatique de longueur d'onde $\lambda = 0,6943 \mu\text{m}$, on mesure sur l'écran une interfrange $i = 4,63 \text{ mm}$. Calculer l'angle α du dièdre formé par les deux miroirs.

On sait que $\delta_M = 2e$, d'où l'interfrange sur le plan (M_1) :

$$e = \alpha x \rightarrow \delta_M = 2\alpha x = p\lambda$$

$$\left\{ \begin{array}{l} x_p = \frac{p\lambda}{2\alpha} \text{ frange brillante d'ordre } p \text{ si } p \in \mathbb{Z} \\ x_{p+1} = \frac{(p+1)\lambda}{2\alpha} \text{ frange brillante d'ordre } p+1 \text{ si } p \in \mathbb{Z} \end{array} \right. \rightarrow x_{p+1} - x_p = i_0 = \frac{\lambda}{2\alpha}$$

$$\text{Projection : } \underline{X} = |\gamma| = \frac{D'}{D} \text{ avec } \frac{1}{D'} - \frac{1}{-D} = \frac{1}{f}$$

$$\rightarrow D' = \frac{Df}{D-f} \text{ et } X' = |\gamma|X = \frac{f}{D-f} \text{ (} D' = 75 \text{ cm ; } \gamma = -5 \text{)}$$

$$\rightarrow i = |\gamma|i_0 \text{ donc } i = \frac{\lambda f}{2\alpha(D-f)} \rightarrow \alpha = \frac{\lambda f}{2i(D-f)} = 3,75 \cdot 10^{-4} \text{ rad } (\alpha = 1,3')$$

- b. Établir, en fonction de α , D , f' et λ l'expression de l'éclairement sur l'écran en un point M' repéré par $X = A'M'$ dans le plan de section principale (A' est le conjugué de l'arête A à travers (L)).

Eclairement :

$$\mathcal{E} = 2\mathcal{E}_0 \left(1 + \cos \left(\frac{2\pi\delta_M}{\lambda} \right) \right) \text{ avec } \delta_M = 2\alpha x = \frac{2\alpha X}{|\gamma|} = \frac{2\alpha(D-f)X}{f}$$

$$\rightarrow \mathcal{E}(X) = 2\mathcal{E}_0 \left(1 + \cos \left(2\pi \frac{2\alpha(D-f)X}{\lambda f} \right) \right) = \left(1 + \cos \left(2\pi \frac{X}{i} \right) \right)$$

- c. La source S émet une lumière blanche: $\lambda \in [0,4 \mu\text{m}; 0,75 \mu\text{m}]$. Déterminer le nombre de cannelures noires observées au spectroscope dont la fente est disposée à la place de l'écran (E), à la distance $X = 50 \text{ mm}$ de A' . Calculer les longueurs d'onde des radiations éteintes.

$$\mathcal{E}(X) = 0 \text{ pour } \cos\left(2\pi\frac{X}{i}\right) = -1 \rightarrow 2\pi\frac{X}{i} = (2q+1)\pi \text{ avec } q \in \mathbb{Z}$$

$$\rightarrow 4\pi\alpha\frac{(D-f)X}{\lambda f} = (2q+1)\pi \rightarrow \lambda_q = \frac{4\alpha X}{2q+1} \frac{D-f}{f} = \frac{15}{2q+1} \text{ avec } \lambda \text{ en } \mu\text{m} \in [0,4; 0,75]$$

$$\rightarrow 0,8q \leq 14,6 \leq 1,5q \text{ d'où } \begin{cases} q \leq 18,25 \\ q \geq 9,73 \end{cases} \rightarrow q = \{10, 11, \dots, 18\} \rightarrow 9 \text{ cannelures}$$

Les longueurs de radiations absentes sont (en μm)

$$\begin{aligned} \lambda_{10} &= 0,7143 \\ \lambda_{11} &= 0,6522 \\ \lambda_{12} &= 0,6000 \\ \lambda_{13} &= 0,5556 \\ \lambda_{14} &= 0,5172 \\ \lambda_{15} &= 0,4839 \\ \lambda_{16} &= 0,4545 \\ \lambda_{17} &= 0,4286 \\ \lambda_{18} &= 0,4054 \end{aligned}$$